

Conduction

équation de conservation de la masse :

~~$$\frac{d\rho}{dt} + \rho \underline{\nabla} \cdot \underline{u} = 0.$$~~

équation de conservation de la quantité de mouvement :

~~$$\rho \frac{d\underline{u}}{dt} = \underline{\nabla} \cdot \underline{\underline{\sigma}} + \underline{f}.$$~~

équation de l'énergie :

~~$$\rho \frac{de}{dt} = \underline{\underline{\sigma}} : \underline{\underline{D}} - \underline{\nabla} \cdot \underline{q} + r.$$~~

relations constitutives :

~~$$\underline{\underline{\sigma}} = p \underline{\underline{I}} + \lambda \underline{\nabla} \cdot \underline{u} \underline{\underline{I}} + 2\mu \underline{\underline{D}}$$~~

$$\underline{q} = -k \underline{\nabla} T.$$

loi d'état :

~~$$p(\rho, T)$$~~

coefficients :

$$c_v(T), \quad c_p(T), \quad \lambda(T), \quad \mu(T), \quad k(T) \dots$$

conditions aux limites T_w **OU** q_w imposés, adhérence à la paroi.

Conduction

équation de conservation de la masse :

~~$$\frac{d\rho}{dt} + \rho \underline{\nabla} \cdot \underline{u} = 0.$$~~

équation de conservation de la quantité de mouvement :

~~$$\rho \frac{d\underline{u}}{dt} = \underline{\nabla} \cdot \underline{\underline{\sigma}} + \underline{f}.$$~~

équation de l'énergie :

~~$$\rho \frac{de}{dt} = \underline{\underline{\sigma}} : \underline{\underline{D}} - \underline{\nabla} \cdot \underline{q} + r.$$~~

relations constitutives :

~~$$\underline{\underline{\sigma}} = p \underline{\underline{I}} + \lambda \underline{\nabla} \cdot \underline{u} \underline{\underline{I}} + 2\mu \underline{\underline{D}}$$~~

$$\underline{q} = -k \underline{\nabla} T.$$

$\frac{\partial}{\partial t}$

loi d'état :

~~$$p(\rho, T)$$~~

$$de = cdT$$

coefficients :

$$c_v(T), \quad c_p(T), \quad \lambda(T), \quad \mu(T), \quad k(T) \dots$$

conditions aux limites T_w **OU** q_w imposés, adhérence à la paroi.

Conduction

équation de conservation de la masse :

~~$$\frac{d\rho}{dt} + \rho \nabla \cdot \underline{u} = 0.$$~~

équation de conservation de la quantité de mouvement :

~~$$\rho \frac{d\underline{u}}{dt} = \nabla \cdot \underline{\underline{\sigma}} + \underline{f}.$$~~

$$de = cdT$$

équation de l'énergie :

$$\rho c \frac{\partial T}{\partial t} = k \nabla^2 T$$

relations constitutives :

$\frac{\partial}{\partial t}$

~~$$\underline{\underline{\sigma}} = p \underline{\underline{I}} + \lambda \nabla \cdot \underline{u} \underline{\underline{I}} + 2\mu \underline{\underline{D}}$$~~

$$\underline{q} = -k \nabla T.$$

loi d'état :

~~$$p(\rho, T)$$~~

coefficients :

$$c_v(T), \quad c_p(T), \quad \lambda(T), \quad \mu(T), \quad k(T) \dots$$

conditions aux limites T_w **OU** q_w imposés, adhérence à la paroi.

$$\rho c \frac{\partial T}{\partial t} = k \nabla^2 T$$

Conduction

$$\rho c \frac{\partial T}{\partial t} = k \nabla^2 T$$


conduction dans l'objet, l'extérieur est modélisé
par un coefficient d'échange

$$\left(k \left[\frac{\partial T}{\partial n} \right]_w \underline{n} + h(T_w - T_f) \right) \underline{n} = 0.$$

Biot

$$\frac{hL}{k}$$

Valeurs de k et de h



k	matériau	k en $Wm^{-1}K^{-1}$	$k/(\rho c_p)$ en m^2s^{-1} .
0.01	air	$2.5 \cdot 10^{-2}$	$2 \cdot 10^{-5}$
	gaz		
0.1	bois	0.13	$2.4 \cdot 10^{-7}$
	liquides		
	glycérine	0.29	$0.98 \cdot 10^{-7}$
	eau	0.60	$1.44 \cdot 10^{-7}$
1	mercure	8.0	$4.2 \cdot 10^{-6}$
100	métaux		
	granit	2.51	$1.1 \cdot 10^{-6}$
	acier	46	$1.2 \cdot 10^{-5}$
	alu	200	$0.86 \cdot 10^{-4}$
	argent	418	$1.71 \cdot 10^{-4}$

”gamme des valeurs” de h (unité $Wm^{-2}K^{-1}$)

rayonnement (linéarisé a 300K)	1
convection libre (air)	5-25
convection libre (eau)	100-900
convection forcée (air)	10-500
convection forcée (eau)	100-15000
convection forcée (huile)	50-2000
conv. f. (métaux fondus)	6000-120000
eau bouillante	2500-25000
vapeur d'eau se condensant	50000-100000

**Le nombre de Biot
varie de 0 à l'infini**

Biot

$$\frac{hL}{k}$$

Dans la suite du cours, nous allons dans des cas particuliers simples estimer h à partir de nombres sans dimension caractéristiques du fluide et de l'écoulement

$$h = \frac{k}{L} Nu$$

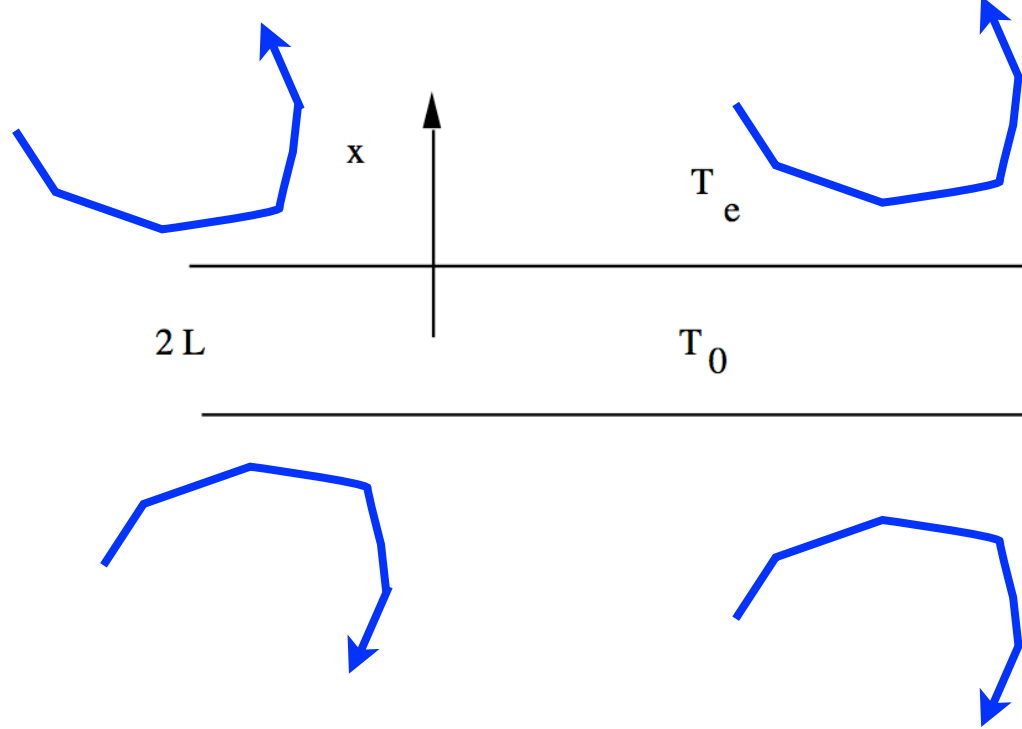
Nombre de Nusselt $Nu = 0.66 Pr^{1/3} R^{1/2}$

Nombre de Reynolds $R = UL/\nu$

Nombre de Prandtl $Pr = \nu / (k / \rho c_p)$

en PC:

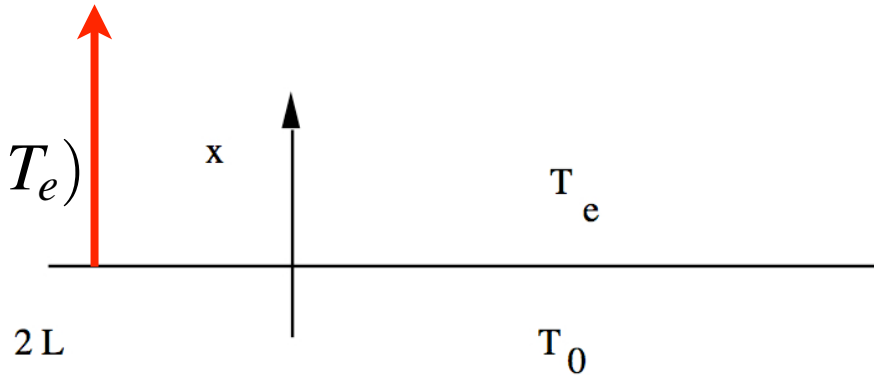
refroidissement d'une lamelle infinie



Echange

Echange

$$-k \frac{\partial T}{\partial x} = h(T - T_e)$$



$$k \frac{\partial T}{\partial x} = h(T - T_e)$$

$$\underline{q}_w = h(T_w - T_f) \underline{n}.$$

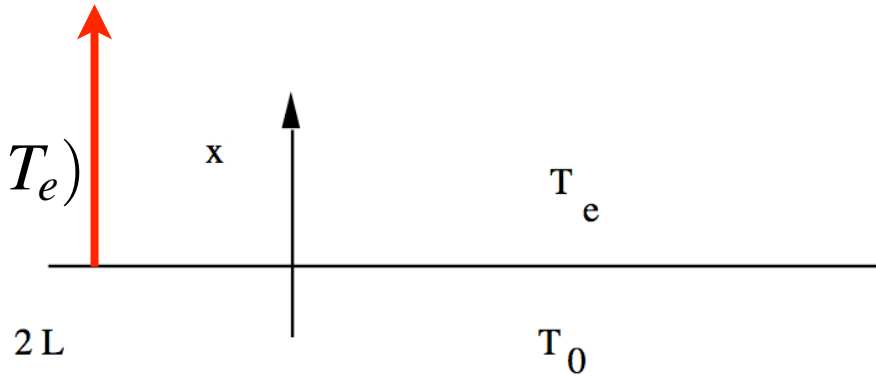
$$\underline{q}_w = -k \left[\frac{\partial T}{\partial n} \right]_w \underline{n},$$

$$k \left[\frac{\partial T}{\partial n} \right]_w \underline{n} + h(T_w - T_f) \underline{n} = 0.$$

$$Bi = \frac{hL}{k}$$

Echange

$$-k \frac{\partial T}{\partial x} = h(T - T_e)$$



$$k \frac{\partial T}{\partial x} = h(T - T_e)$$

$$T = T_e + (T_0 - T_e)\bar{T}$$

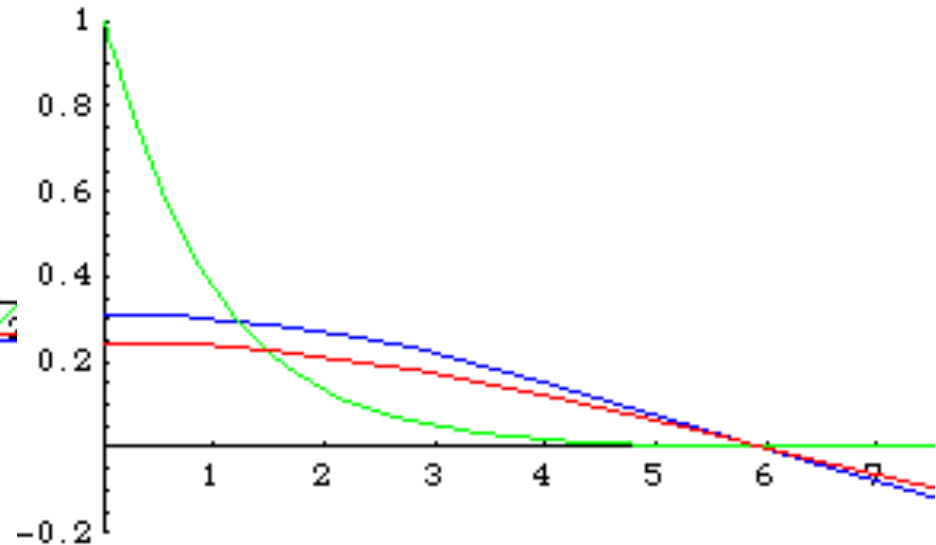
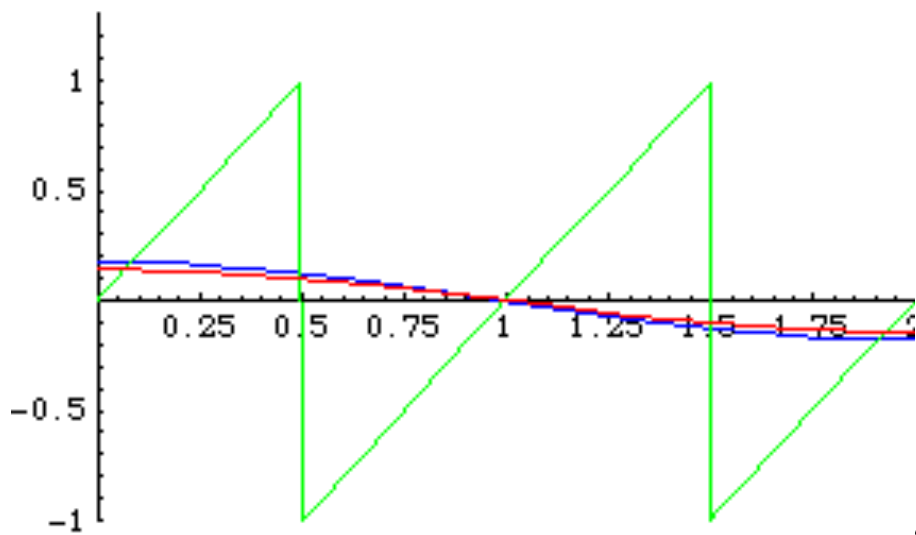
$$Bi = \frac{hL}{k}$$

$$\frac{\partial \bar{T}}{\partial \bar{t}} = \left(\frac{\partial^2 \bar{T}}{\partial \bar{x}^2} \right)$$

$$\bar{T} = 1 \text{ en } \bar{t} = 0 \text{ et } -\left(\frac{\partial \bar{T}}{\partial \bar{x}} \right) = \pm Bi \bar{T} \text{ en } \bar{t} > 0 \text{ et } \bar{x} = \pm 1.$$

Solution en Séries de Fourier

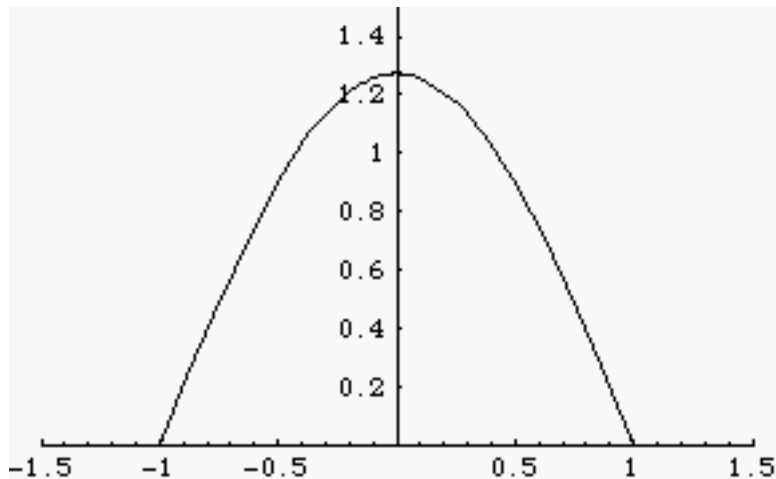
$$\sum_{i>0} A_i \exp(-k_i^2 \bar{t}) \cos(k_i \bar{x})$$



Solution en Séries de Fourier

$$\sum_{i>0} A_i \exp(-k_i^2 \bar{t}) \cos(k_i \bar{x})$$

TFI



$$= \sum_{i>0} A_i \cos(k_i \bar{x}),$$

Solution en Séries de Fourier



$$\sum_{i>0} A_i \exp(-k_i^2 \bar{t}) \cos(k_i \bar{x})$$

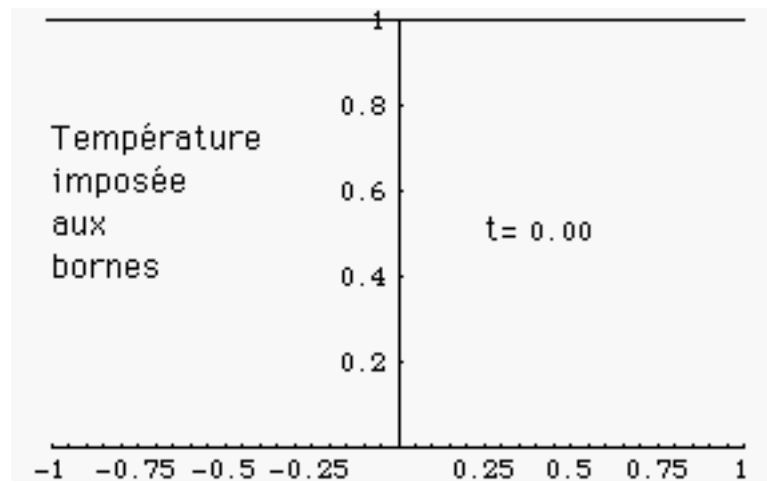
$$A_i = \frac{2 \sin(k_i)}{k_i + \sin(k_i) \cos(k_i)}$$

Si $Bi = 0$, $k_i = (i - 1)\pi$.

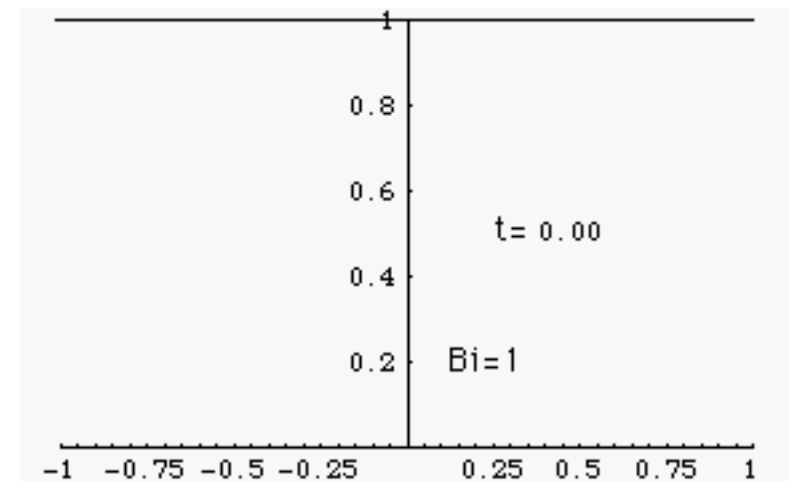
Si $Bi = \infty$, $k_i = (2i - 1)\pi/2$.

Si $Bi = 1$, $k_1 = 0.863$, $k_2 = 3.4256$, $k_3 = 6.4373$, $k_4 = 9.5293 \dots$

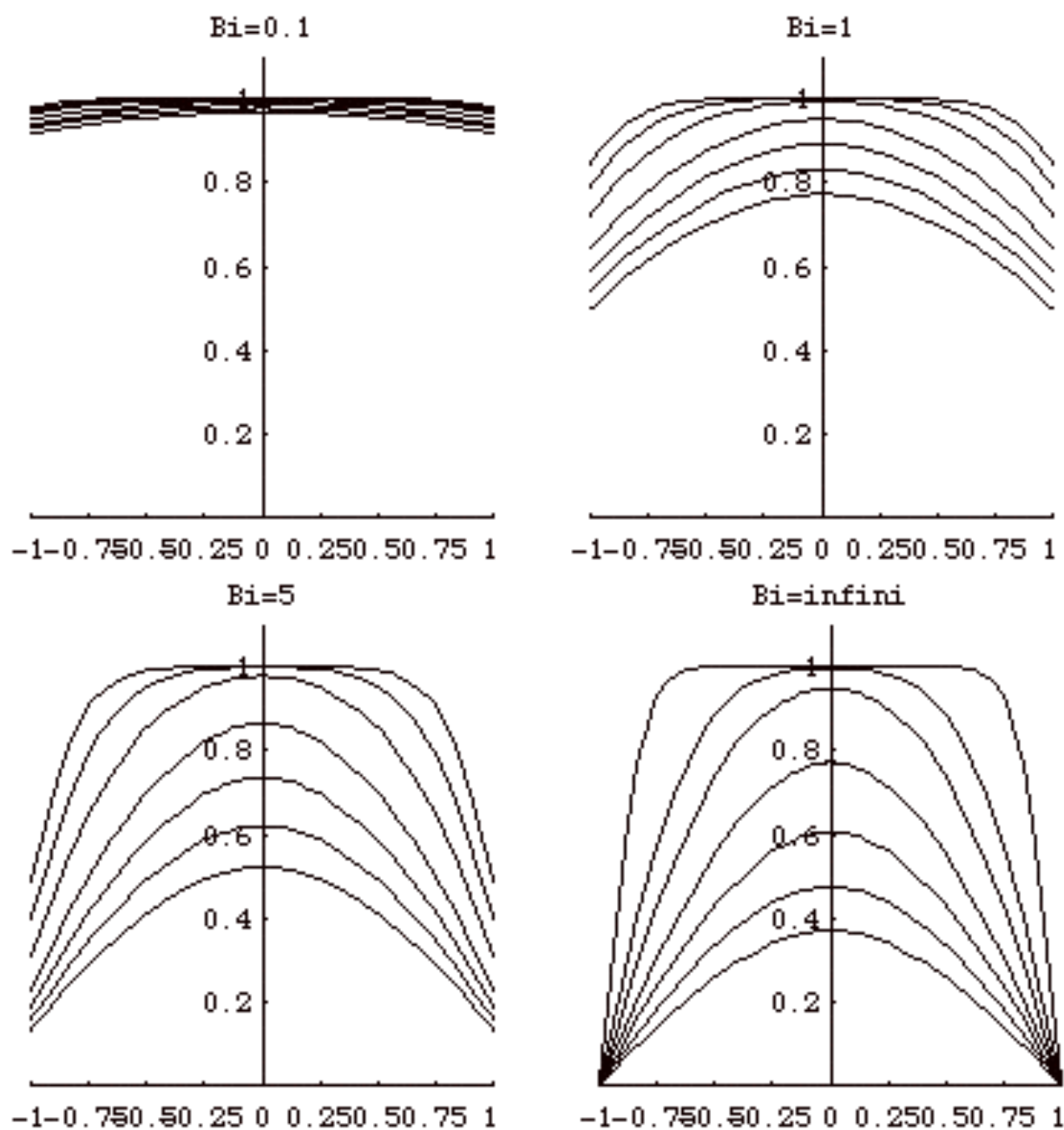
$$k \operatorname{tg}(k) = Bi.$$



Bi infini



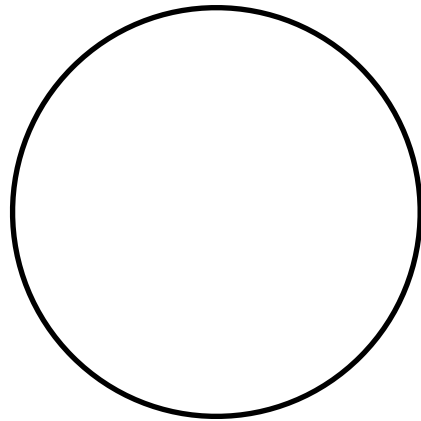
Bi=1



figures pour $t=0.025$ 0.05 0.1 0.2 0.3 0.4 et 0.5 à différents nombres de Biot

En Cylindriques

$$\frac{\partial \bar{T}}{\partial \bar{t}} = \frac{1}{\bar{r}} \frac{\partial}{\partial \bar{r}} \left[\bar{r} \frac{\partial \bar{T}}{\partial \bar{r}} \right]$$



En Cylindriques

$$\frac{\partial \bar{T}}{\partial \bar{t}} = \frac{1}{\bar{r}} \frac{\partial}{\partial \bar{r}} \left[\bar{r} \frac{\partial \bar{T}}{\partial \bar{r}} \right]$$

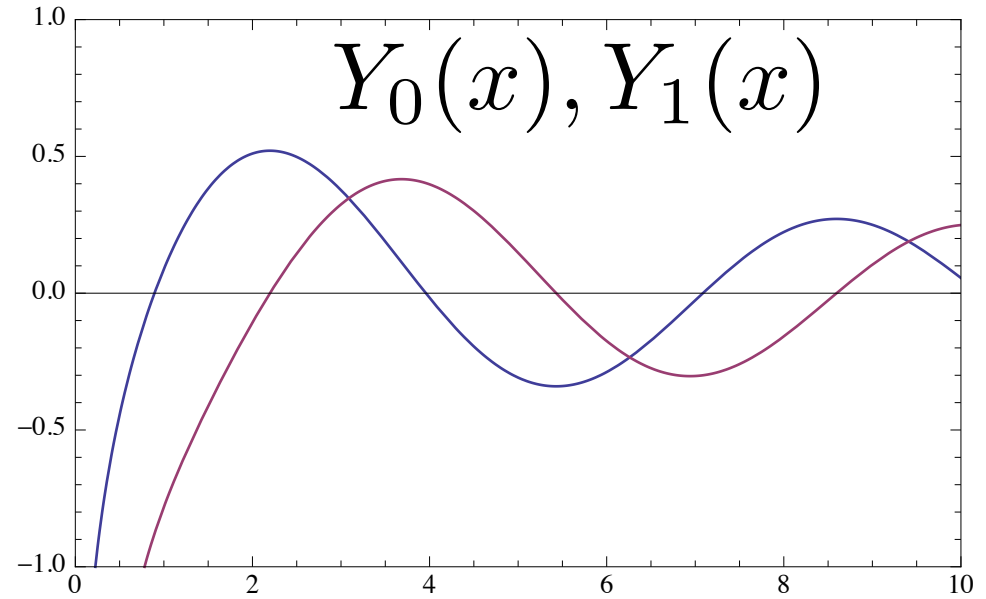
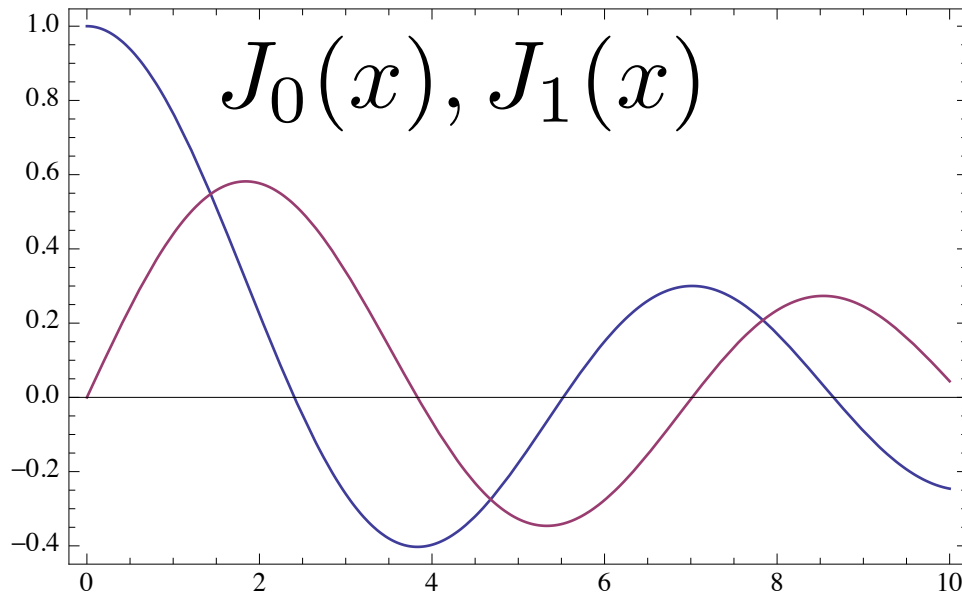
variables séparées $\bar{T} = f(\bar{r})g(\bar{r})$

$$\frac{\bar{r} f'' + f'}{\bar{r} f} = \frac{g'}{g} = -\mu^2$$

exponentielle en temps et ...

fonction de Bessel en r

$$x^2 y'' + xy' + (x^2 - \alpha^2)y = 0$$



zéros de J_0 $J_0(\mu) = 0$ $\mu_1 = 2.405$ $\mu_2 = 5.52$ $\mu_3 = 8.65$ $\mu_4 = 11.79$

Forme générale $\bar{T} = \sum_i A_i J_0(\mu_i \bar{r}) \exp(-\mu_i^2 \bar{t})$

formules de produit scalaire
et normalisation

$$\int_0^1 x J_n^2(\mu x) dx = \frac{1}{2} \left[J_n'^2(\mu) + \left(1 - \frac{n^2}{\mu^2}\right) J_n^2(\mu) \right]$$

$$\int_0^1 x J_n(\alpha x) J_n(\beta x) dx = \frac{1}{\beta^2 - \alpha^2} [\alpha J_n(\beta) J_n'(\alpha) - \beta J_n(\alpha) J_n'(\beta)]$$

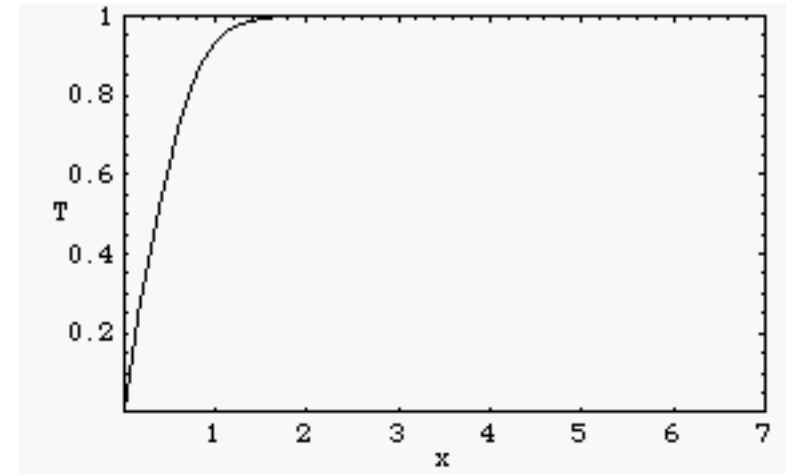
Milieu semi infini

$$\frac{\partial \bar{T}}{\partial \bar{t}} = \left(\frac{\partial^2 \bar{T}}{\partial \bar{x}^2} \right)$$

$$\bar{T}(\bar{x}, \bar{t} = 0) = 1$$

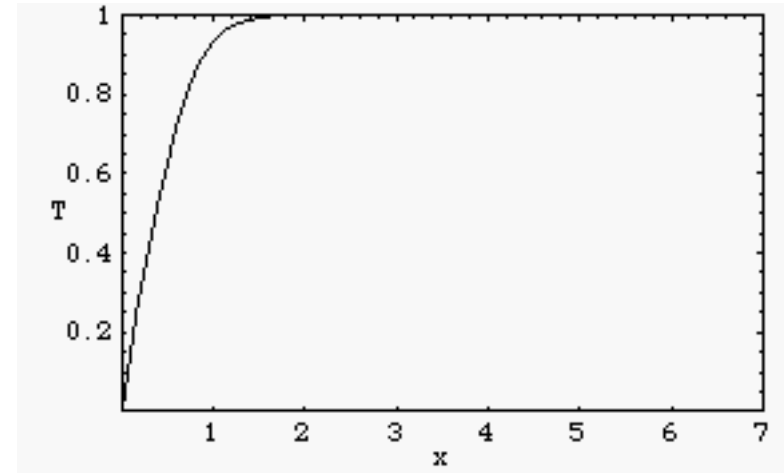
$$\bar{T}(\bar{x} = 0, \bar{t}) = 0$$

$$\bar{T}(\bar{x} = \infty, \bar{t}) = 1$$



variable de similitude

$$\eta = \bar{x} / \sqrt{\bar{t}}$$



On remarque que $\frac{\partial \bar{T}}{\partial \bar{t}} = \frac{\partial \bar{T}}{\partial \eta} \frac{\partial \eta}{\partial \bar{t}}$, donc:

Lorsque l'on dérive $\frac{\partial \bar{T}}{\partial \bar{t}} = \theta'(\eta) \frac{\partial \eta}{\partial \bar{t}}$, or $\frac{\partial \eta}{\partial \bar{t}} = \frac{-\bar{x}}{2\bar{t}^{3/2}} = -\frac{\eta}{2\bar{t}}$

Lorsque l'on dérive $\frac{\partial \bar{T}}{\partial \bar{x}} = \theta'(\eta) \frac{\partial \eta}{\partial \bar{x}}$, or $\frac{\partial \eta}{\partial \bar{x}} = \frac{-1}{\bar{t}^{1/2}}$

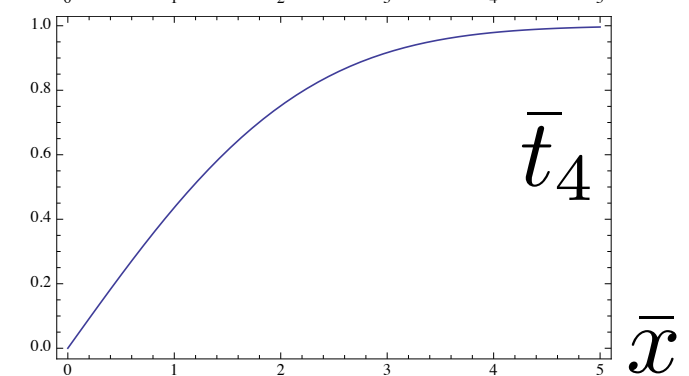
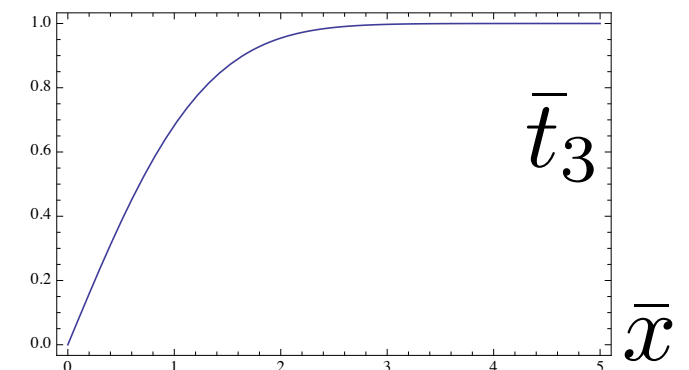
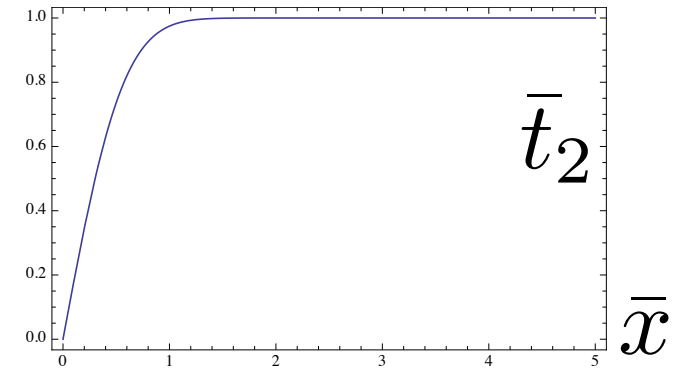
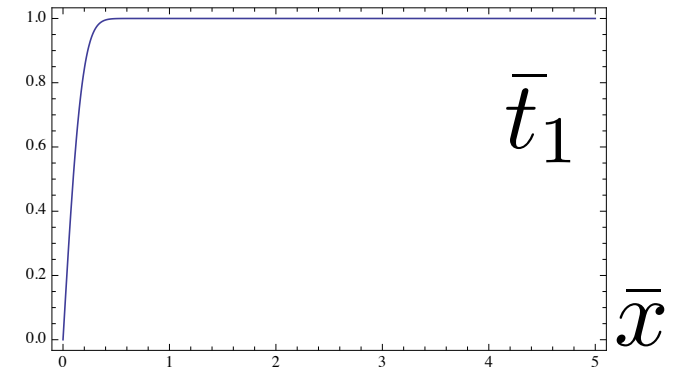
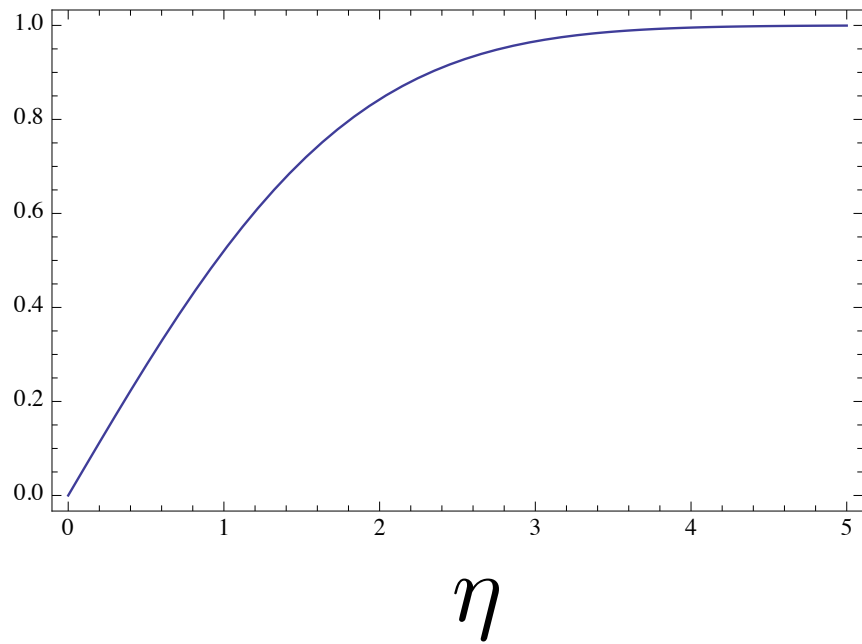
donc $\frac{\partial^2 \bar{T}}{\partial \bar{x}^2} = \theta''(\eta) \bar{t}^{-1}/2$, et $\frac{\partial \bar{T}}{\partial \bar{t}} = -\eta \theta'(\eta) \bar{t}^{-1}$ on constate donc que:

$$\theta''(\eta) = -\frac{\eta}{2} \theta'(\eta).$$

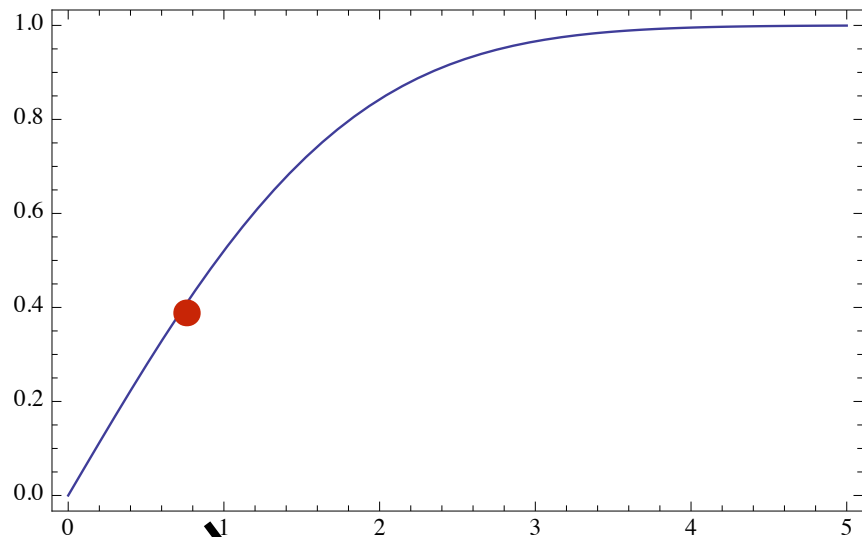
$$\eta = \frac{\bar{x}}{\sqrt{\bar{t}}} \text{ et } \bar{T} = \theta(\eta) \text{ avec } \theta(\eta) = \frac{2}{\sqrt{\pi}} \int_0^{\eta/2} \exp(-\xi^2) d\xi$$

$$\theta = \operatorname{erf}(\eta/2)$$

Milieu semi infini



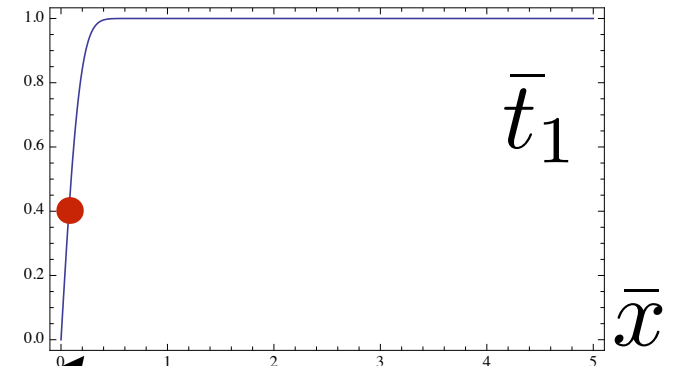
Milieu semi infini



η

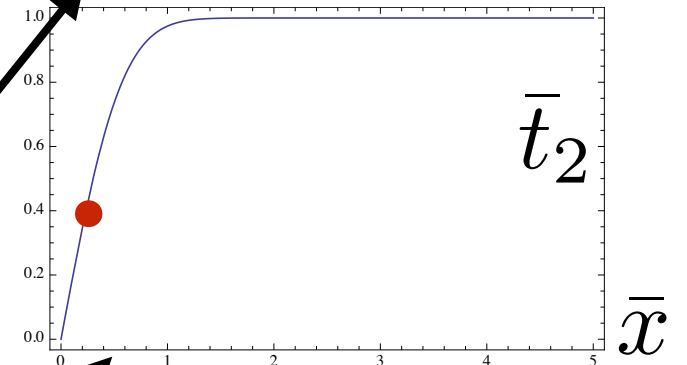
η_0

$$\eta_0 = \frac{\bar{x}_1}{\sqrt{\bar{t}_1}} = \frac{\bar{x}_2}{\sqrt{\bar{t}_2}} = \frac{\bar{x}_3}{\sqrt{\bar{t}_3}} = \frac{\bar{x}_4}{\sqrt{\bar{t}_4}}$$



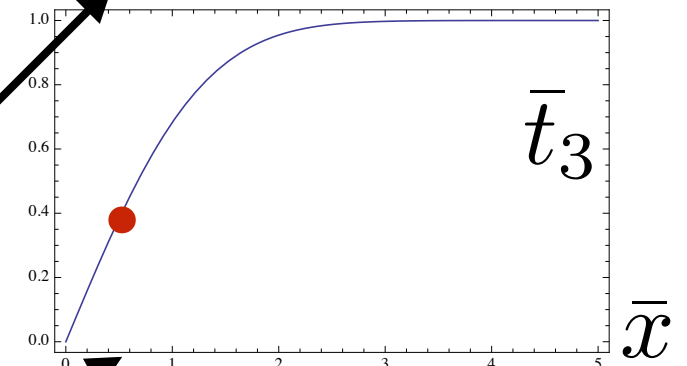
\bar{t}_1

\bar{x}



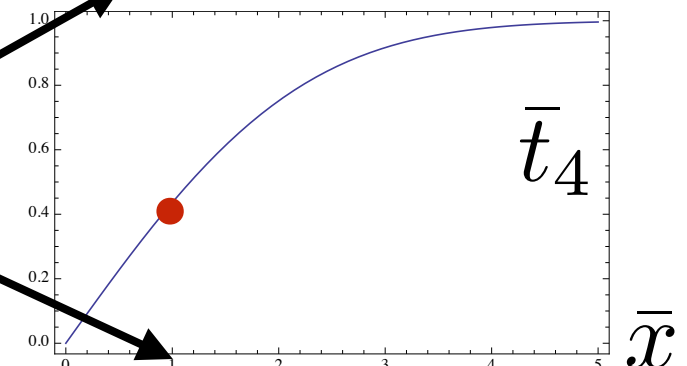
\bar{t}_2

\bar{x}



\bar{t}_3

\bar{x}

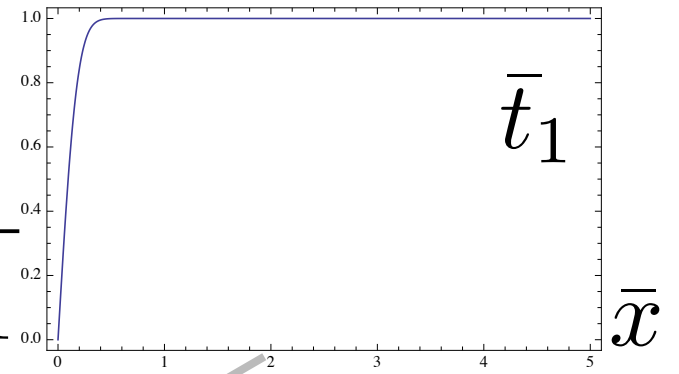


\bar{t}_4

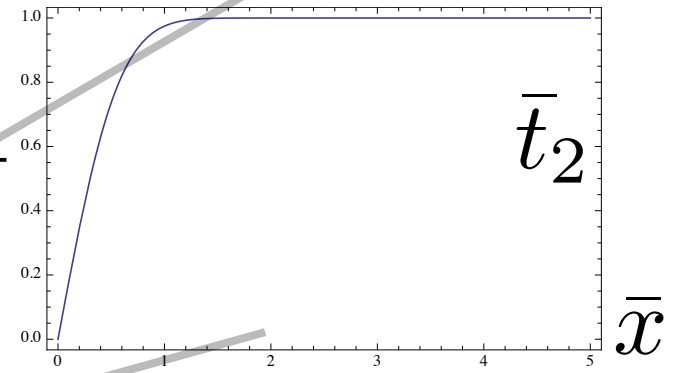
\bar{x}

Milieu semi infini

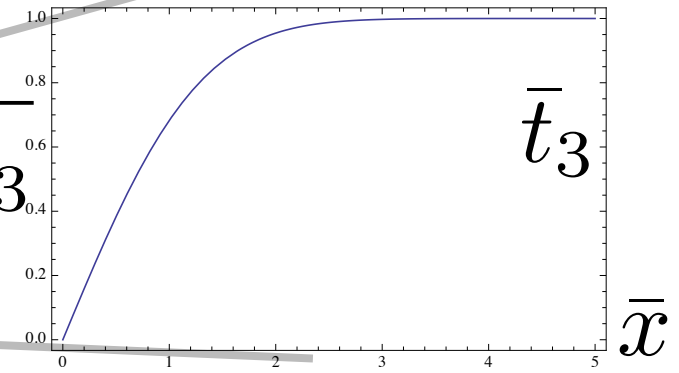
$$\eta = \bar{x} / \sqrt{\bar{t}_1}$$



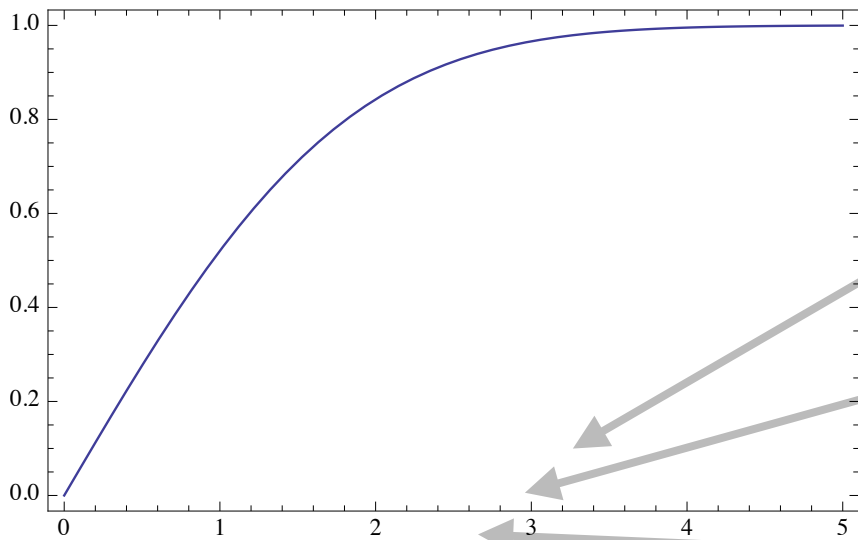
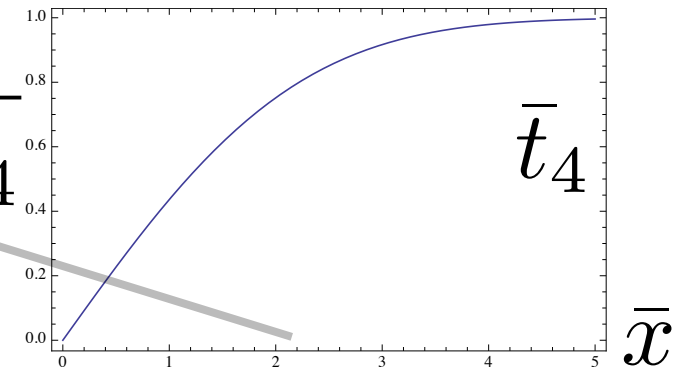
$$\eta = \bar{x} / \sqrt{\bar{t}_2}$$



$$\eta = \bar{x} / \sqrt{\bar{t}_3}$$



$$\eta = \bar{x} / \sqrt{\bar{t}_4}$$



η

\bar{x}

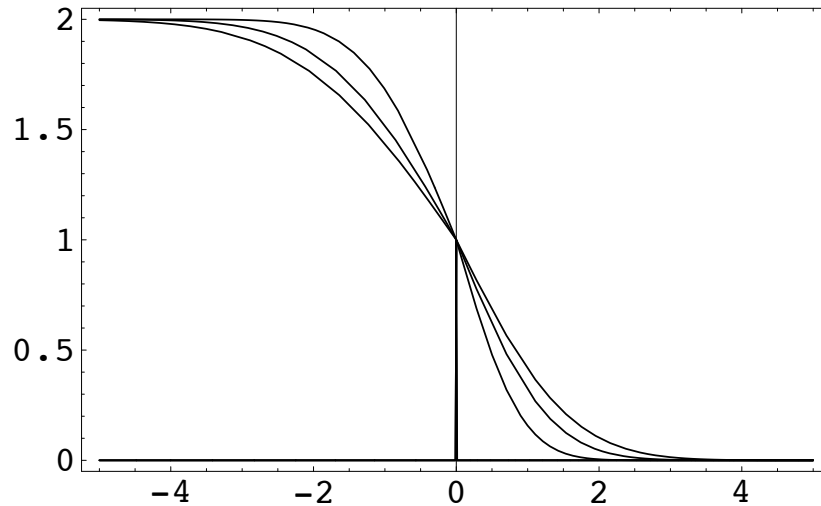
\bar{x}

\bar{x}

\bar{x}

Cas avec deux milieux

$$\frac{\partial T}{\partial t} = a_1 \frac{\partial^2 T}{\partial x^2}$$



$$\frac{\partial T}{\partial t} = a_2 \frac{\partial^2 T}{\partial x^2}$$

$$T|_1 = T|_2$$

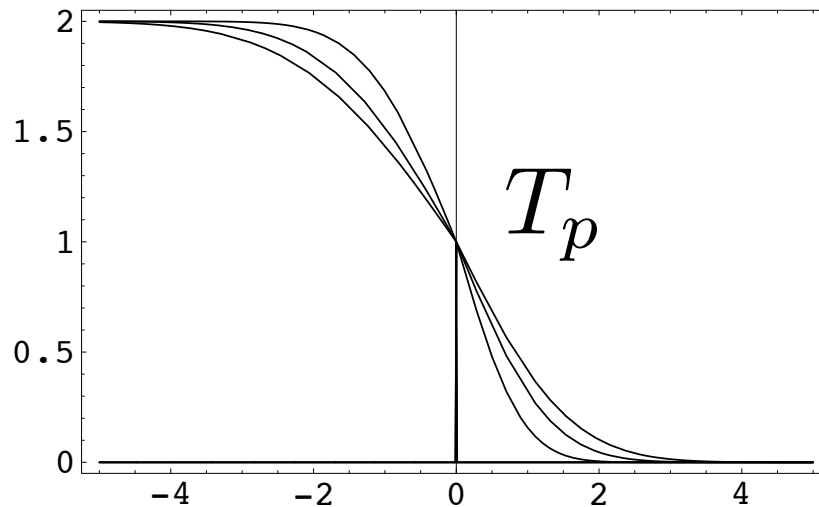
$$k_1 \frac{\partial T}{\partial x} |_1 = k_2 \frac{\partial T}{\partial x} |_2$$

égalité des températures et des flux à l'interface

Cas avec deux milieux

$$\frac{\partial T}{\partial t} = a_1 \frac{\partial^2 T}{\partial x^2}$$

T_1



$$\frac{\partial T}{\partial t} = a_2 \frac{\partial^2 T}{\partial x^2}$$

T_2

$$T|_1 = T|_2$$

$$k_1 \frac{\partial T}{\partial x} \Big|_1 = k_2 \frac{\partial T}{\partial x} \Big|_2$$

Pour $x > 0$ on a donc $T - T_p = (T_2 - T_p) \operatorname{erf}(x/\sqrt{4a_2t})$

Pour $x < 0$ on a donc $T - T_p = (T_1 - T_p) \operatorname{erf}(-x/\sqrt{4a_1t})$

L'égalité des flux en $x = 0$

$$\sqrt{k_1 \rho_1 c_1} \left(\frac{T_1 - T_p}{\sqrt{\pi t}} \right) = \sqrt{k_2 \rho_2 c_2} \left(\frac{T_2 - T_p}{\sqrt{\pi t}} \right)$$

donc

$$T_p = \frac{b_1 T_1 + b_2 T_2}{b_1 + b_2}$$

avec $b_1 = \sqrt{k_1 \rho_1 c_1}$ et $b_2 = \sqrt{k_2 \rho_2 c_2}$ l'effusivité du matériau.

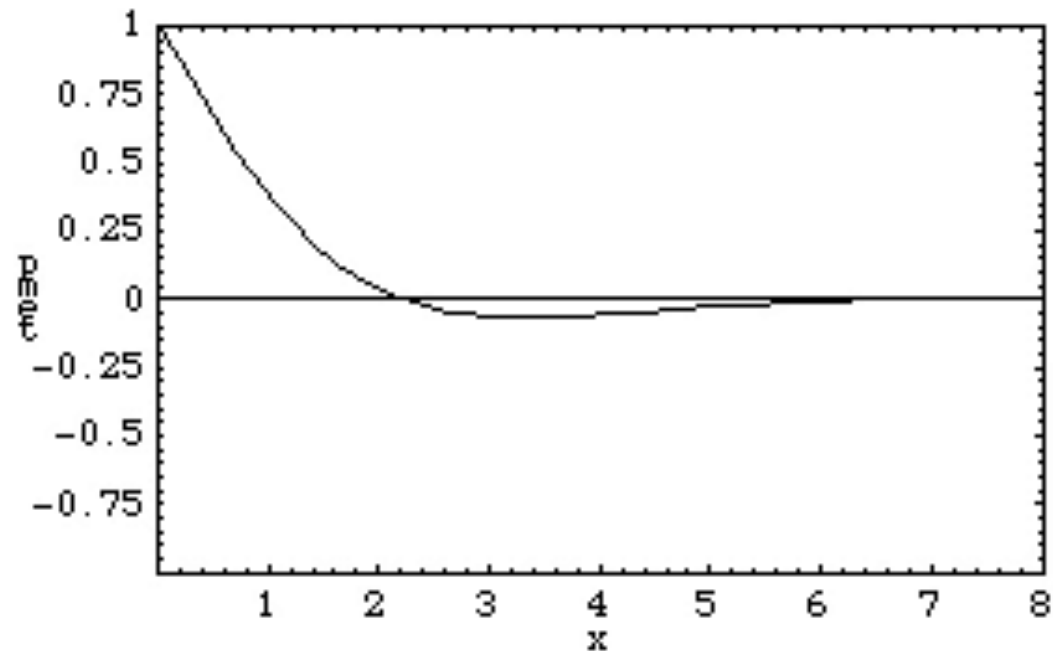
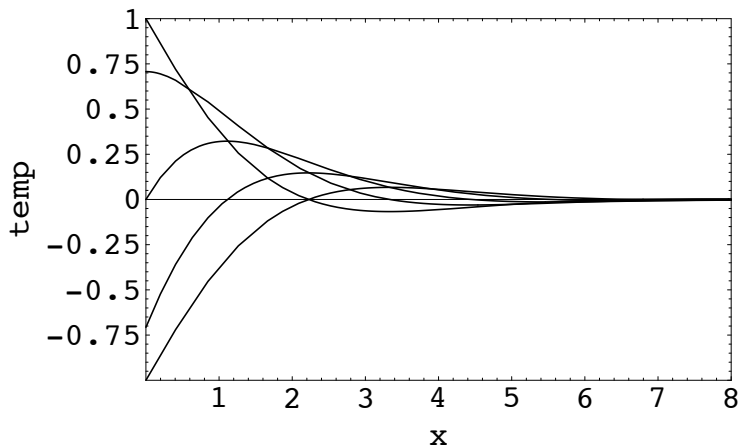
sinusoidal forcé en 0

$$\frac{\partial T}{\partial t} = a \frac{\partial^2 T}{\partial x^2}$$

solution forcée $T = \Delta T e^{i(\omega t - kx)} + T_0$

avec $-k^2 = i\omega/a$. **or** $(-i)^{1/2} = \frac{(1-i)}{\sqrt{2}}$:

$$T = T_0 + \Delta T e^{-x\sqrt{\frac{\omega}{2a}}} \cos\left(\omega t - x\sqrt{\frac{\omega}{2a}}\right)$$



Bi < 0.1 Système Mince/ Corps thermiquement mince

- “lumped system analysis”
- par définition les systèmes minces : faible nombre de Biot
- température uniforme dans le corps

$$\frac{\partial}{\partial t} \int_{\Omega} \rho e dv = \int_{\partial\Omega} (-\vec{q}) \cdot \vec{dS}$$

$$\vec{q} = h(T - T_{ext}) \vec{n}$$

$$\rho V c_p \frac{\partial T}{\partial t} = -hS(T - T_{ext})$$

Bi < 0.1 Système Mince/ Corps thermiquement mince

- “lumped system analysis”
- par définition les systèmes minces : faible nombre de Biot
- température uniforme dans le corps

$$\rho V c_p \frac{\partial T}{\partial t} = -hS(T - T_{ext})$$

“Loi de Newton”

Bi petit

$$\frac{\partial^2 \bar{T}}{\partial \bar{x}^2} = \frac{\partial \bar{T}}{\partial \bar{t}}$$

$$\int \frac{\partial^2 \bar{T}}{\partial \bar{x}^2} dx = \int \frac{\partial \bar{T}}{\partial \bar{t}} dx \quad \text{moyenne de la température}$$

$$-2Bi(\bar{T}) \sim \frac{\partial}{\partial \bar{t}} \int \bar{T} d\bar{x} \quad -Bi\bar{T}_m = \frac{\partial}{\partial \bar{t}} \bar{T}_m$$

temps lent $Bi\bar{t} = \tilde{t}$

Bi petit

moyenne de la température

Systèmes Minces $Bi < 0.1$

$$-Bi\bar{T}_m = \frac{\partial}{\partial \tilde{t}} \bar{T}_m$$

temps lent $Bi\bar{t} = \tilde{t}$

$Bi > 0.1$

$$\bar{T} = A_1 \exp(-k_1^2 \bar{t}) \cos(k_1 \bar{x}) + \dots,$$

$\bar{t} > 0.2$)

pour $Bi = \infty$ on a $\bar{T} = \frac{4e^{-\frac{\pi^2 \bar{t}}{4}} \cos\left(\frac{\pi \bar{x}}{2}\right)}{\pi}$

pour $Bi = \infty$ on a $\bar{T} = 1.27324e^{-(1.5708)^2 \bar{t}} \cos(1.5708 \bar{x})$

pour $Bi = 5$ on a $\bar{T} = 1.2402e^{-(1.3138)^2 \bar{t}} \cos(1.3138 \bar{x})$

pour $Bi = 1$ on a $\bar{T} = 1.1192e^{-(0.8603)^2 \bar{t}} \cos(0.8603 \bar{x})$

pour $Bi = .1$ on a $\bar{T} = 1.0160e^{-(0.3111)^2 \bar{t}} \cos(0.3111 \bar{x})$

Pour $Bi < .1$

$$\bar{T} = e^{-Bi \bar{t}}$$

- $Bi \ll 1$ “lumped system analysis” $T(t)$ température uniforme dans le corps
- $Bi \gg 1$ température imposée aux bords
- Bi quelconque : résolution numérique (système épais)

Bi quelconque

Résolution numérique

$$\frac{\partial T}{\partial t} = \frac{\partial^2}{\partial x^2} T$$

discrétisation

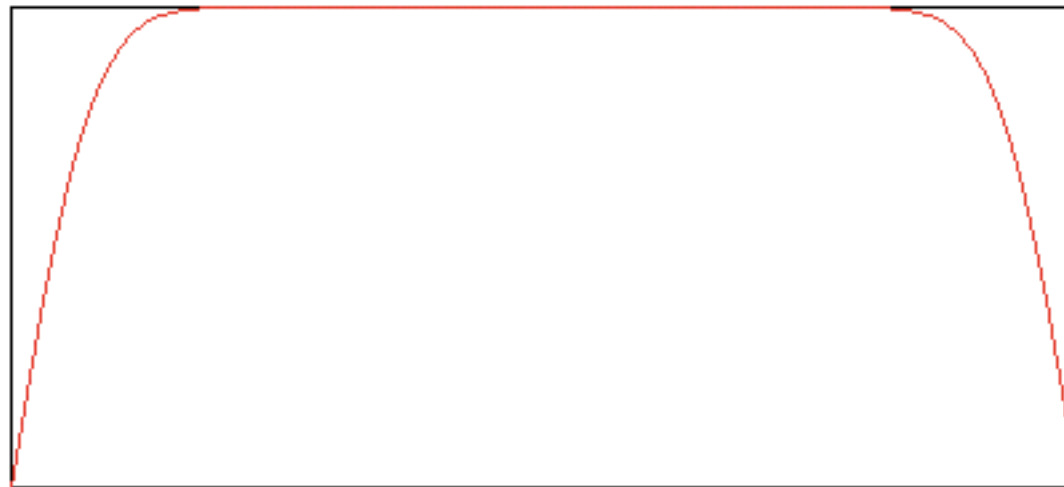
$$\frac{T(t + \Delta t) - T}{\Delta t} = \frac{(T(t, x + \Delta x) - 2T(t, x) + T(t, x - \Delta x))}{\Delta x^2}$$

Explicite

$$\frac{T(t + \Delta t) - T}{\Delta t} = \frac{(T(t + \Delta t, x + \Delta x) - 2T(t + \Delta t, x) + T(t + \Delta t, x - \Delta x))}{\Delta x^2}$$

Implicite

$T(x, t=0.0010)$



x

dt=

0.000010

RAZ

Calcul

Pause

T imp....

0.000

Cond. lim.

T(0)=0, T(1)=0

http://www.lmm.jussieu.fr/~lagree/SOURCES/Appliquette-JavaChal/guiChalomega_v_implicite/index.html

guiChalOmegaImp.class

discrétisation explicite

$$T(t + \Delta t, x) = T(t, x) + \Delta t \frac{T(t, x + \Delta x) - 2T(t, x) + T(t, x - \Delta x)}{\Delta x^2}$$

réécrit

$$T(t + \Delta t, x) = \left(1 - \frac{2\Delta t}{\Delta x^2}\right)T(t, x) + \Delta t \frac{T(t, x + \Delta x) + T(t, x - \Delta x)}{\Delta x^2}$$

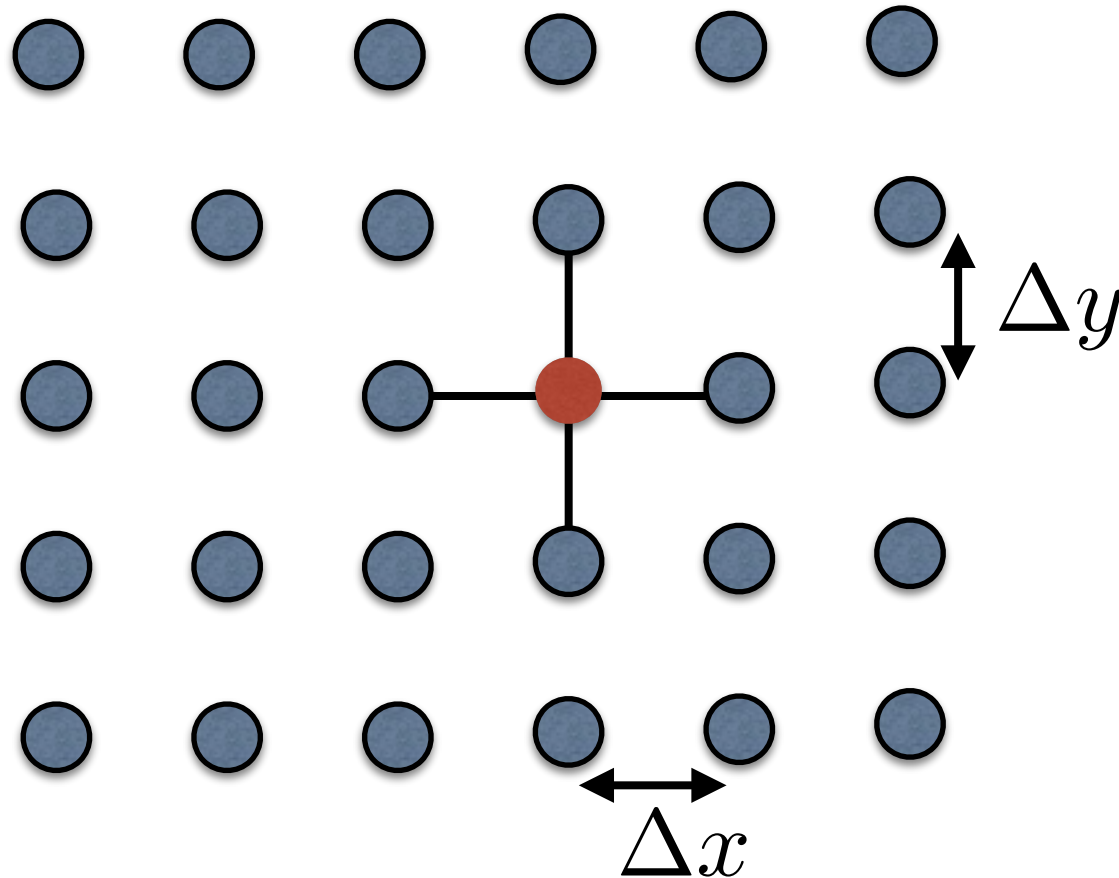
si $\Delta t = \frac{\Delta x^2}{2}$

$$T(t + \Delta t, x) = \frac{T(t, x + \Delta x) + T(t, x - \Delta x)}{2}$$

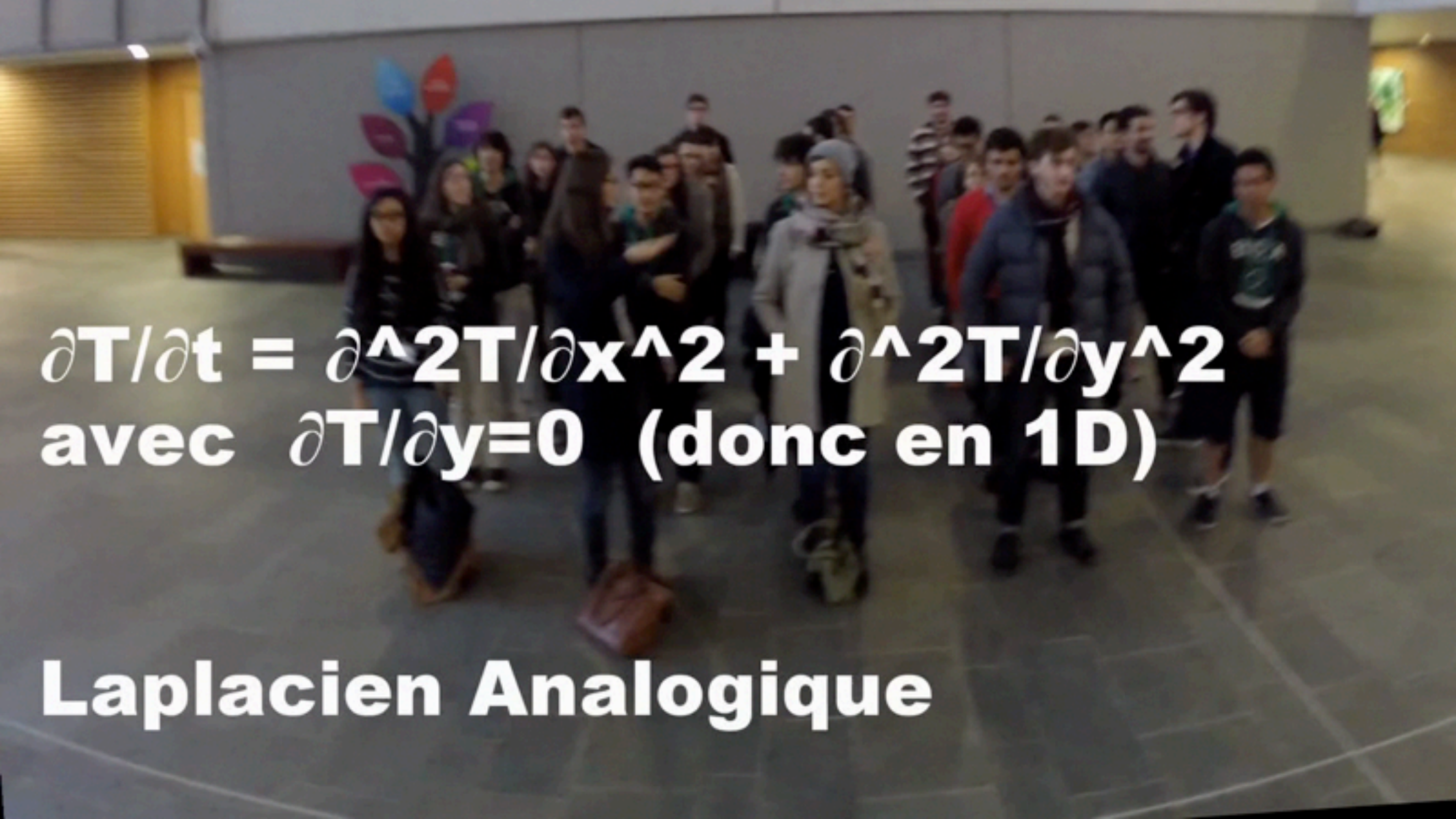
la nouvelle estimation est la moyenne...

idem en 2D

$$T(t + \Delta t, x, y) = \frac{T(t, x + \Delta x, y) + T(t, x - \Delta x, y) + T(t, x, y + \Delta y) + T(t, x, y - \Delta y)}{4}$$



Solveur Analogique ;-)



$\frac{\partial T}{\partial t} = \frac{\partial^2 T}{\partial x^2} + \frac{\partial^2 T}{\partial y^2}$
avec $\frac{\partial T}{\partial y} = 0$ (donc en 1D)

Laplacien Analogique

Résolution de l'équation
de la chaleur 2D
analogique

$$\frac{\partial T}{\partial t} = \frac{\partial^2 T}{\partial x^2} + \frac{\partial^2 T}{\partial y^2}$$

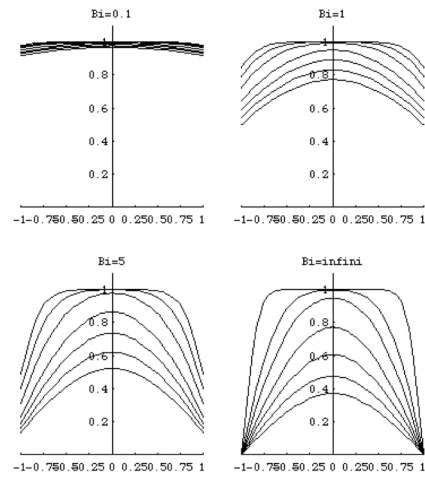


FIG. 16 – $\bar{T}(\bar{x}, \bar{t})$ pour $\bar{t} = 0.025, 0.05, 0.1, 0.2, 0.3, 0.4$ et 0.5

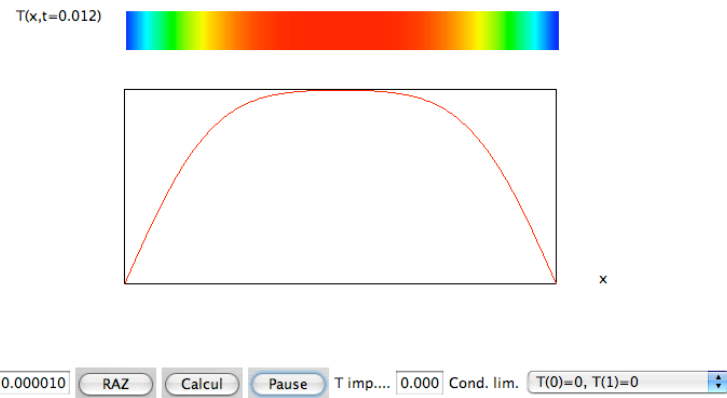




FIG. 17 – Résolution en direct par différences finies de l'équation de la chaleur.

05
PROGRESS IN HEAT AND MASS TRANSFER
Volume VI
HETEROGENEOUS MEDIA
BY
HARTNETT
011 HET


05
Heat Transfer
011 HOL


05
FIFTH EDITION

Fundamentals of Heat and Mass Transfer
011 INC



05
Advances in HEAT TRANSFER
7
1971
011 IRV


50
05
HEAT TRANSFER
Jakob
Volume I
011 JAK


05
HEAT TRANSFER
Jakob
Volume II
011 JAK


05
Janna
ENGINEERING HEAT TRANSFER
S.I. UNIT
011 JAN


05
011 LIE


Lothov
05
Analytical Heat Diffusion Theo
011 LUI


05
McADAMS
Heat Transmission
McGraw-Hill
011 MAC

05
Introduction aux transferts thermiques
011 MAR

05
PROGRESS IN HEAT AND MASS TRANSFER
Volume IV
HARTNETT
BY
JAYNE
011 MAR


05
S.-I. Pai
Radiation Gas Dynamics
011 PAI

05
ROLLE
THERMODYNAMICS
AND HEAT POWER
SIXTH EDITION
011 ROL

05
Introduction to gas dynamics
011 ROT

05
thermiques
011 SAC

05
011 SCH

05
CONDUCTED HEAT TRANSFER
011 SCH

05
THERMAL RADIATION
HEAT TRANSFER
011 SIE

05
011 SOE

05
DULING OF HEAT
TRANSFER EQUIPMENT
011 SOM

05
D. B. Spalding
011 SPA

05
RADIATION HEAT TRANSFER
011 SPA

05
011 TAI

05
TRANSFERTS THERMIQUES
Introduction aux sciences des transferts
011 TAI

05
L.-P. Petit
011 TAI

05
011 TAI